

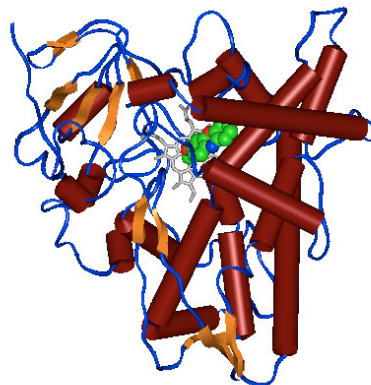


Andrea Hombrecher (Autor)

Molecular Modelling Studien am humanen Cytochrom P450 1A2

Andrea Hombrecher

Molecular Modelling Studien am humanen Cytochrom P450 1A2



Cuvillier Verlag Göttingen

<https://cuvillier.de/de/shop/publications/2413>

Copyright:

Cuvillier Verlag, Inhaberin Annette Jentzsch-Cuvillier, Nonnenstieg 8, 37075 Göttingen,
Germany

Telefon: +49 (0)551 54724-0, E-Mail: info@cuvillier.de, Website: <https://cuvillier.de>

INHALTSVERZEICHNIS

1	EINLEITUNG	7
1.1	Cytochrome P450	10
1.1.1	Nomenklatur	11
1.1.2	Evolutionäre Entwicklung	11
1.1.3	Verbreitung	12
1.1.4	Funktionen	13
1.2	Das humane Cytochrom P450 1A2	16
1.2.1	Substrate und katalysierte Reaktionen	17
1.2.2	Regulation der Enzymaktivität	28
1.3	Katalytischer Mechanismus der Cytochrome P450	32
1.3.1	Allgemeiner Reaktionszyklus	32
1.3.2	Mechanismus CYP1A2-katalysierter Reaktionen	35
1.4	Proteinstruktur der Cytochrome P450	38
1.4.1	Kristallstrukturen von Säugetiercytochromen	38
1.4.2	Allgemeine Tertiärstruktur	39
2	PROBLEMSTELLUNG UND ZIELSETZUNG	49
3	METHODEN	53
3.1	Analyse der Proteinsequenz	55
3.1.1	Automatisches Sequenzalignment	55
3.1.2	Sekundärstrukturvorhersagen	57
3.1.3	Erkennung von Sequenz-Struktur-Homologien	58
3.2	Homologie-Modelling	58
3.2.1	Behandlung der strukturkonservierten Bereiche	58
3.2.2	<i>Loop Search</i> Routine	59
3.3	Quantenmechanische Berechnung von Atomeigenschaften	60
3.4	Molekülmechanik	61
3.4.1	Das GROMOS96-Kraftfeld	62
3.4.2	Geometrieeoptimierung	66
3.4.3	Moleküldynamiksimulationen	67
3.5	Analyse des Proteinmodells	69
3.5.1	Strukturvalidierung mit PROCHECK	69
3.5.2	SURFNET-Kavitäten	70
3.5.3	Clusteranalyse mit NMRCLUST	70
3.6	3D-QSAR Untersuchungen	71
3.6.1	Protein-Ligand-Docking	71
3.6.2	GRID- Wechselwirkungsfelder	74
3.6.3	Statistische Auswertung mit GOLPE	75

4 DURCHFÜHRUNG UND ERGEBNISSE	79
4.1 Konstruktion des Homologiemodells	81
4.1.1 Auswahl der Templatstruktur.....	81
4.1.2 Sekundärstrukturvorhersagen	82
4.1.3 Sequenzalignment.....	85
4.1.4 Festlegung der strukturkonservierten Bereiche.....	89
4.1.5 Modellierung der strukturvariablen Bereiche.....	90
4.1.6 Energieminimierung.....	93
4.1.7 Einfügen des Häm in das Modell.....	94
4.2 Strukturoptimierung und Validierung des Modells.....	95
4.2.1 Durchführung und Simulationsbedingungen	95
4.2.2 Equilibrierung der Kristallstruktur	98
4.2.3 Auswertung der MDS mit der Kristallstruktur	101
4.2.4 Equilibrierung des Proteinmodells.....	108
4.2.5 Auswertung der MDS mit dem Modell.....	111
4.3 Untersuchung von Enzym-Substrat-Komplexen	119
4.3.1 Auswahl von Substraten und Positionierung in das Modell	119
4.3.2 Durchführung der MDS mit Enzym-Substrat-Komplexen.....	125
4.3.3 MDS mit der Kristallstruktur 1N6B.....	126
4.3.4 MDS mit der Kristallstruktur 1NR6	128
4.3.5 MDS des Modells mit MelQ.....	135
4.3.6 MDS des Modells mit 7-Ethoxyresorufin	142
4.3.7 MDS des Modells mit Coffein zur Umsetzung zum Paraxanthin.....	149
4.3.8 MDS des Modells mit Coffein zur Umsetzung zum Theobromin.....	154
4.3.9 Vergleich der beiden MDS mit Coffein	159
4.3.10 Vergleich der drei untersuchten Substratkoplexe	160
4.4 3D-QSAR-Studie	162
4.4.1 Validierung des Dockings	162
4.4.2 Analyse des Inhibitordatensatzes.....	166
4.4.3 Docking des Datensatzes.....	170
4.4.4 3D-QSAR-Modell	172
5 DISKUSSION	177
5.1 Konstruktion des Homologiemodells	179
5.2 Validierung des Proteinmodells mittels MDS	180
5.3 Berechnung von Substratkoplexe	182
5.4 Substratkoplexe mit MelQ und 7-Ethoxyresorufin.....	185
5.5 Substratkoplexe mit Coffein.....	187
5.6 3D-QSAR-Studie	189
6 ZUSAMMENFASSUNG	191
7 LITERATUR	195
8 ANHANG	209